

СО Д Е Р Ж А Н И Е

Коробейников Н. К., Семейкина Л. К., Киренский А. С. Углеродистые формации складчатого обрамления юга Сибирской платформы	3
Куликов Д. П. Стратиграфическое расчленение и структурно-фациальное районирование верхнеюрских отложений Енисей-Хатангского прогиба	10
Сухоруков В. И., Осипов В. Н., Зубков Ю. А. Новые данные о расчленении и корреляции улахской серии Сетте-Дабана (<i>Южное Верхоянье</i>)	18
Озеранская Л. С., Рудкевич М. Я. Соотношения высокомолекулярных алканов как отражение условий формирования залежей разнотипных нефтей и конденсатов в Западно-Сибирском нефтегазоносном бассейне	27
Архипова А. И., Наторхин И. А., Неручев С. С., Павлов Л. Г. О металлогенической зональности Центрального Таймыра	36
Коробейников А. Ф., Пшеничкин А. Я., Маслеников В. В., Трубачев С. А. Проявление рудно-метасоматической зональности в рудном поле черносланцевой толщи карбона	43
Берзина А. Н., Добрянский Г. И., Сотников В. И. Особенности режима HCl и HF при формировании молибденово-медного месторождения Ак-Суг (<i>Северо-Восточная Тува</i>)	52
Бредихина С. А., Мельгунов С. В. О физико-химических параметрах образования флюорита из флюорит-барит-железорудного оруденения Тувинской АССР	61
Рудашевский Н. С. Эволюция химического состава гексагональных твердых растворов осмия, рутения и иридия в разноформационных ультрамафитах	68
Шведенков Г. Ю., Калинин Д. В., Стрехлетов А. Н., Саввинов А. В. О взаимодействии минералов глубинных пород с азотом в присутствии углерода	75
Рогов Н. В. О масштабах проявления архея на Сангиле (<i>Тува</i>)	81
Гольдин С. В., Поволоцкий М. И. Трехмерная обратная кинематическая задача для отраженных обменных волн PS ₂ . Слоисто-однородные среды	85
Кузнецов В. Л., Никишина В. Ф. Сейсмическая характеристика верхней части разреза в зоне распространения трапфов Сибирской платформы	95
Вялков В. Н. О выборе параметров группирования в вибросейсморазведке	102
Ушаков Г. Д., Ушаков М. Г., Аксенов А. Н. Некоторые вопросы методики изучения образцов горных пород на отраженных волнах	108
Донченко В. В., Гнибиденко З. Н. К методике оценки амплитуд палеогеомагнитных вариаций геомагнитного поля	117
Имаев В. С., Козьмин Б. М. Напряженное состояние земной коры побережья моря Лаптевых по структурно-геологическим и сейсмологическим данным	124
Зорин Ю. А., Турутанов Е. Х., Арвисбаатар Н. Стрoение кайнозойских впадин Прихубсугуля по гравиметрическим данным	130
Бабич В. В. К формально-логическому анализу проблемы поиска закономерностей в геологии	137
ХРОНИКА	
VI Всесоюзный коллоквиум по археоцатам	143

N. K. Korobeinikov, L. K. Semeikina, A. S. Kirensky
CARBONACEOUS FORMATIONS OF FOLDED FRAMING
OF THE SOUTHERN SIBERIAN PLATFORM

Four types of formations are distinguished: carbonaceous-terrigenous, carbonaceous-carbonate-terrigenous, carbonaceous-siliceous and carbonaceous-volcanogenic-terrigenous. Three levels of their development are determined: the Lower Proterozoic, the Riphean and the Lower Paleozoic. Defined is predominantly flyschoid and flysch character of formations structure. The miogeosynclinal regime of their formation is established, which favoured the accumulation of the organic substance and simultaneous enrichment of sediments by a series of useful components such as lead, zink, molibdenum, vanadium, phosphorus etc. It is inferred that carbonaceous formations of folded framing of the southern Siberian Platform could be considered as one of the main sources of ore material.

УДК 551.762.3(571.511)

Д. П. КУЛИКОВ

СТРАТИГРАФИЧЕСКОЕ РАСЧЛЕНЕНИЕ
И СТРУКТУРНО-ФАЦИАЛЬНОЕ РАЙОНИРОВАНИЕ
ВЕРХНЕЮРСКИХ ОТЛОЖЕНИЙ
ЕНИСЕЙ-ХАТАНГСКОГО ПРОГИБА

Приведены новые данные по стратиграфии и литологии верхнеюрских отложений Енисей-Хатангского прогиба. На основе материалов глубокого бурения в центральных и северных районах прогиба обоснована необходимость выделения новой гольчихинской свиты, дана ее литологическая, палеонтологическая и промыслово-геофизическая характеристика. Оконтурирована территория распространения свиты и показаны ее взаимоотношения со стратонами соседних районов.

Стратиграфическая схема и схема структурно-фациального районирования верхнеюрских отложений Енисей-Хатангского прогиба, принятые на III Межведомственном региональном стратиграфическом совещании, состоявшемся в Новосибирске в 1978 г. [4], базировались на материалах по скважинам и естественным обнажениям, приуроченным в основном к окраинам прогиба. На основе этих материалов были выделены Усть-Енисейская, Хатангская, Восточно-Таймырская и Нордвикская зоны, обладающие примерно однотипным строением верхней юры, основной чертой которого является наличие алевритопесчаных отложений сиговской свиты, залегающей на глинисто-алевритовых породах точинской свиты и перекрывающейся алевритоглинистыми отложениями яновстанской свиты. По палеонтологическим данным возраст нижних слоев сиговской свиты меняется от позднего келловея до раннего киммериджа, а положение кровли — от верхнего оксфорда до верхнего киммериджа.

Анализ материалов глубокого бурения, полученных после 1978 г., позволяет внести существенные дополнения в стратиграфическую схему верхнеюрских отложений Енисей-Хатангского прогиба, а также изменить схему их структурно-фациального районирования.

В этот период верхнеюрские отложения были вскрыты глубокими скважинами в пределах северной притаймырской зоны прогиба на Хабейской и Гольчихинской площадях, а также в его центральной зоне — на Дерябинской, Южно-Носковской, Среднеяровской, Пеляткинской, Ушаковской, Турковской, Озерной, Новой, Западно-Кубалахской, Кубалахской и Восточно-Кубалахской площадях (рис. 1).

Результаты бурения на этих новых площадях показали, что в центральной и северной зонах Енисей-Хатангского прогиба верхнеюрские отложения по строению и литолого-фациальным особенностям значительно отличаются от разновозрастных отложений, развитых вдоль южной и северо-восточной окраин прогиба.

удачным, так как выделяемая в таком объеме дерябинская свита состоит из двух литологически и генетически разнородных частей, к тому же верхняя граница свиты является нечетной и проведение ее в практике работ обычно вызывает затруднения.

Более целесообразный вариант стратиграфической типизации верхнеюрских отложений был намечен Т. С. Кукушкиной и В. И. Кислухиным [3], которые на основе материалов бурения на Северной и Дерябинской площадях предложили рассматривать алевритоглинистую толщу позднеюрского возраста в качестве самостоятельной свиты, названной ими гольчихинской (по р. Гольчиха, правому притоку Енисея). Стратиграфический объем гольчихинской свиты соответствует нижней подсвите дерябинской свиты Г. Н. Карцевой, или точинской, сиговской и январской свитам южных районов прогиба.

Полученные впоследствии данные глубокого бурения на других площадях подтверждают правильность этого предложения и позволяют полнее охарактеризовать литолого-фациальные особенности гольчихинской свиты, оконтурить территорию ее развития, а многочисленные палеонтологические находки дают возможность достоверно определить возрастное положение границ свиты.

По данным бурения и сейсморазведочных исследований установлено, что гольчихинская свита согласно залегает на малышевской свите средней юры. Граница между ними очень четкая, однозначно определяется по керну и каротажу и фиксируется на временных сейсмических разрезах опорным отражающим горизонтом II⁶, так как кровельная часть малышевской свиты обычно сложена песчаниками, резко отличающимися по всем параметрам от перекрывающих пород гольчихинской свиты.

Верхняя граница гольчихинской свиты проводится по появлению в разрезе алевритопесчаных пород, залегающих в основании нижнемеловой толщи. Эта граница не всегда имеет контрастный характер, так как в отдельных разрезах наблюдается постепенное изменение литологического состава пород.

Гольчихинскую свиту можно разделить на две подсвиты, имеющие примерно равные мощности, формировавшиеся в сходных условиях, но обладающие некоторыми отличительными литологическими признаками (рис. 2).

Нижняя подсвита сложена преимущественно алевролитами серыми до темно-серых почти черных, тонко- и мелкозернистыми, в различной степени глинистыми, массивными. На каротажных диаграммах ей соответствуют низкие (5—10 Ом·м) кажущиеся сопротивления, запись ПС на «линии глиен», повышенная естественная радиоактивность (до 12—17 А/кг) и наведенная радиоактивность на уровне 1,6—1,8 усл. ед.

В составе верхней подсвиты преобладают глинистые отложения. Она представлена аргиллитами темно-серыми с прослоями алевролитов темно-серых, мелкозернистых, глинистых. На каротажных диаграммах ей соответствует слабо дифференцированная кривая кажущихся сопротивлений, значения которых не превышают 5 Ом·м, запись ПС на «линии глиен» и наведенная радиоактивность в пределах 1,0—1,2 усл. ед. Характерной особенностью верхней подсвиты является интенсивное кавернообразование в процессе вскрытия, выражающееся в значительном увеличении диаметра ствола скважины.

Гольчихинская свита распространена на большей части территории Енисей-Хатангского прогиба. Территория ее развития при районировании верхнеюрской толщи может рассматриваться как Танамо-Пясинская зона в составе Енисей-Ленской структурно-фациальной области (см. рис. 1).

В качестве стратотипа гольчихинской свиты можно принять разрез Южно-Носковской параметрической скв. 318 в интервале 3720—4028 м (нижняя подсвита 3895—4028, верхняя — 3720—3895 м). В этой скважине гольчихинская свита имеет значительную мощность, четко выражена на каротажных диаграммах, довольно полно охарактеризована

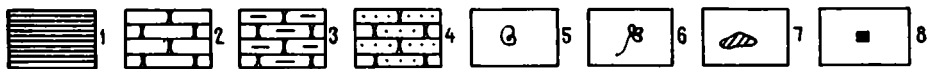
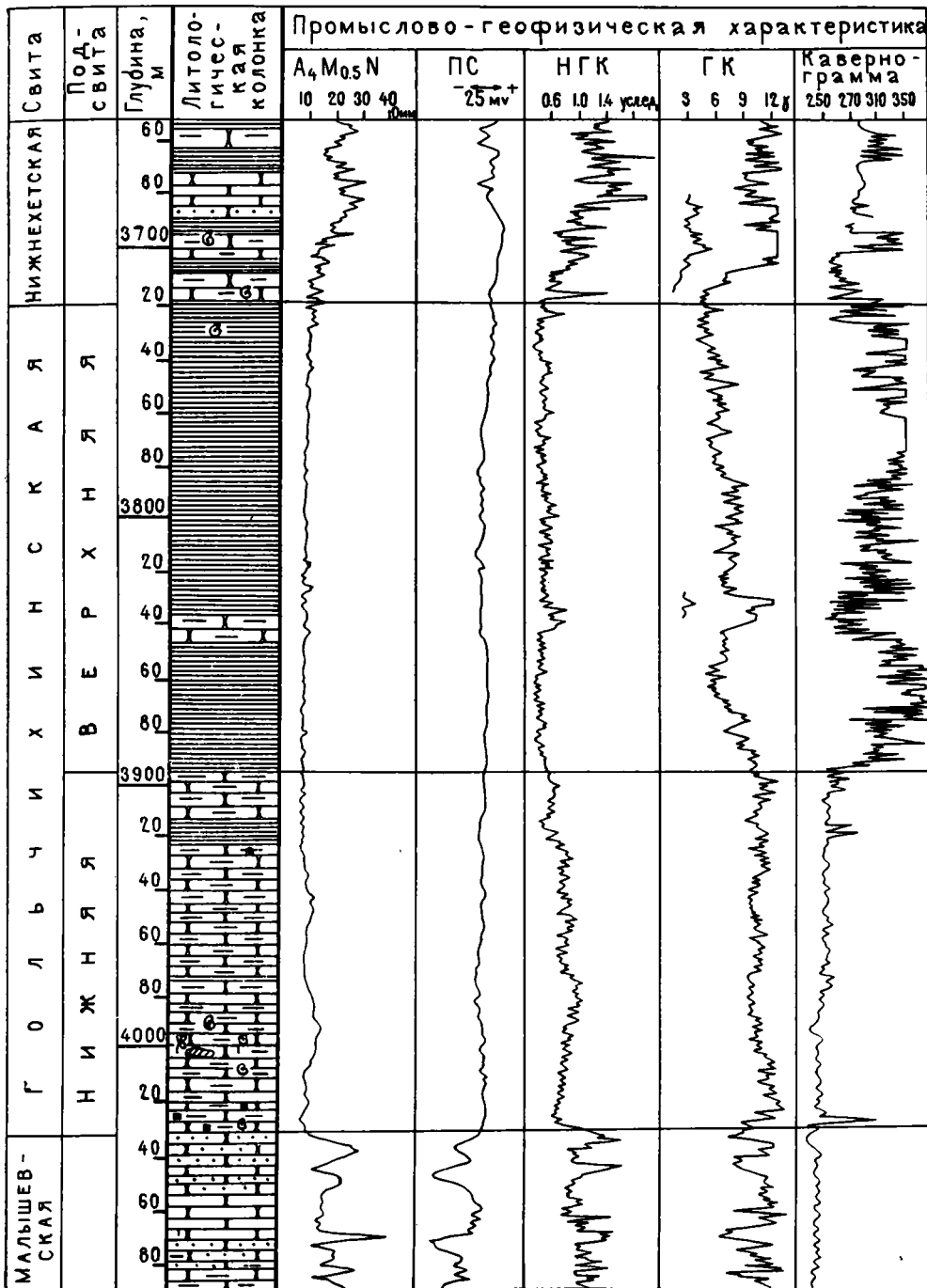


Рис. 2. Литологическая и промыслово-геофизическая характеристика гольчихинской свиты в разрезе Южно-Носковской параметрической скв. 318.

1 — аргиллиты, 2 — алевролиты, 3 — алевролиты глинистые, 4 — песчаники, 5 — фауна, 6 — флора, 7 — конкреции, 8 — пиритизация.

кернам, в котором обнаружены многочисленные палеонтологические остатки, позволяющие уверенно датировать ее кровельные и подошвенные слои.

Гольчихинская свита и вмещающие ее отложения имеют палеонтологические данные, что позволяет с высокой степенью достоверности оценить возраст свиты и составляющих ее подсвит. В породах нижней подсвиты в Южно-Носковской (скв. 318 в интервале 3978,2 м (гл. 8,0) — 3998,4 м (гл. 13,2) определены характерные для верхнего келловея Средней Сибири *Quenstedtoceratinae*, в том числе роды *Longaeviceras* и *Quenstedtoceras* (*Soaniceras*); в интервале 3998,4 м (гл. 13,5) — 4013,8 м (гл. 8,0) распространены среднекелловейские *Rondiceras* ex gr. *milashevici* (Nik.) и *R.sp.juv.*, а также ?*Pseudocadoceras* sp. и *Kosmoceras* sp. *juv.*; в интервале 4013,8 м (гл. 10,1) — 4029,4 м (гл. 2,9) обнаружены аммониты, имеющие облик нижнекелловейских *Cadoceratinae*, а также ?*Reppleritinae* (верхняя половина нижнего келловея), ?*Arctoccephalitinae* (?*Arcticoceras* sp. *juv.*) (низы нижнего келловея); к тому же встреченные на глубине 4029,4 + 2,05 м *Goniomya* cf. *marginata* в отложениях, древнее келловейских, пока неизвестны (заключение сотрудников ИГиГ СО АН СССР В. А. Захарова, С. В. Мелединой и Б. Н. Шурыгина).

На Соленинской площади в скв. 24 из отложений нижней подсвиты с глубины 2728 + 0,6 и +1,8 м Н. И. Шульгиной найдены (?*Longaeviceras*) sp., с глубины 2728 + 9,7 м — ?*Cadoceras* sp. *ind.* или ?*Longaeviceras* sp. *ind.*, позволяющие отнести эти отложения к нижнему — верхнему (?) келловею. В керне Соленинской скв. 25 с глубины 2735 + 5,5 и 2758 + 5,3 м М. Д. Бурдыкиной обнаружены верхнекелловейские *Longaeviceras stenobolus*; на Восточно-Кубалахской площади в скв. 357 (2575—2590 м) А. С. Турбиной определены *Thracia* cf. *scythica* (Eichw.) верхнего келловея — нижнего оксфорда. В образцах из Среднеяровской скв. 4 с глубины 3302 + 12,5 м А. И. Лебедевым определены *Astarte* sp. *juv.* (cf. *A. extensa* (Phill)) и *Dasgonyia* sp. *nov.*, свидетельствующие об оксфордском или кимериджском возрасте вмещающих пород.

Из отложений нижней подсвиты установлены также и микрофаунистические остатки. В Дерябинской скв. 9 в образцах (3169—3186 и 3186—3196 м) Н. В. Шаровской обнаружены исключительно скудные фораминиферы (*Recurvoides scherkaensis*, *R. anabarensis*, *R. disputabilis*, *Lenticulina dashevskajae* и др.), свидетельствующие о келловейском (скорее всего раннекелловейском) возрасте вмещающих отложений. В скв. 1 Турковской площади (3272—3288 м) определены фораминиферы, среди которых присутствуют обычные для средне-верхнекелловейских комплексов Западной Сибири *Trochammina* ex gr. *kosyrevae* Levina, *Ammobaculites igrimensis* Bulyn. et Lev. и *Glomospira oxfordiana* Schar. (заключение Т. Т. Киселевой, В. К. Комиссаренко и М. И. Таначевой). В керне из Хабейской скв. 1 (2007—2025 м) Н. В. Шаровской обнаружены фораминиферы, свидетельствующие о келловейском возрасте вмещающих отложений, наряду с которыми присутствуют более древние формы (*Saccammina compacta*, *Ammobaculites septentrionalis*, *Pseudonodosaria sowerbyi*, *Globulina* ex gr. *oolithica*, *Guttulina tatarensis*), а также отмечаются формы, характерные для оксфордских отложений (*Glomospirella semiaffira*, *Marginulina suprajurensis*, *Lenticulina darbyellaformis*, *L. decorata*, *L. memorabilissima*, *L. solita*, *L. subinvolvens*, *L. subpolonica*, *L. oculus avis*), что позволило автору высказать предположение о позднекелловейском возрасте пород.

Приведенные выше данные показывают, что по палеонтологическим данным возраст отложения нижней подсвиты гольчихинской свиты охватывает интервал от раннего келловея до раннего кимериджа. Самые нижние слои келловейского яруса, вероятно, следует относить к малышевской свите, так как на ряде площадей в кровельной части этой свиты обнаружены окаменелости нижнего келловея. Например, в Турковской скв. 1 (3340—3356 м) найден комплекс келловейских фораминифер, в котором

присутствуют *Saccammina compacta* Gerke, *Haplophragmoides tryssa* Tarpan, *H. memorabilis* Schar., *Recurvoides singularis* Lutova, *R. scherkaletensis* Levina, *R. anabarensis* Bassov, *Ammobaculites borealis* Gerke, *A. lapidosus* Gerke et Schar., *Trochammina rostovzevi* Levina, *Dorothia insperata* Bulyn., *Lenticulina subinvolvens* Schar., *L. decorata* Gerke et Schar., *Marginulinopsis mjatliukaе* Shokh. и др. На Восточно-Кубалахской площади в скв. 357 в образце с глубины 2918 + 2,7 м присутствуют обломки известковистых фораминифер *Astacolus* sp. и *Dentalina*, по строению напоминающие верхнеюрские виды (заключение В. А. Басова).

Верхняя подсвита гольчихинской свиты палеонтологически охарактеризована в разрезах скважин на Дерябинской, Среднеяровской, Гольчихинской, Восточно-Кубалахской и других площадях.

В Среднеяровской скв. 3 в керне из интервала 3265—3280 (+1,8 м) И. Г. Климовой найден аммонит *Amoeboceras* (*Amoeboceras*) cf. *alternans* (Buch) (верхний оксфорд, зона *Amoeboceras alternans*). Тот же аммонит А. И. Лебедев и Ю. В. Брадучан определили как *Amoeboceras* (*Prionoceras*) sp. ind., относящийся к верхнему оксфорду. Несколько ниже этого аммонита с глубины 3265 + 12,0 и 3280 + 1,3 м Н. И. Шульгина обнаружила аммониты *Longaeviceras* sp. indet. и *L. sp.* (cf. *filorum* Meled) (верхний келловей, зоны *Longaeviceras keyserlingi* и *Eboraciceras subordinarium*).

В образцах из Восточно-Кубалахской скв. 357 А. С. Турбиной определены *Meleagrinnella* ex gr. *subovalis* Zakh (2313 + 4,8 м, верхний оксфорд — нижний кимеридж), *Amoeboceras* (*Amoebites*) aff. *kitchini* Salf (2296—2313 м, нижний кимеридж), *Ammonites* gen. et sp. indet. juv. (? *Polyptychtiidae*) и *Buchia* sp. juv. (cf. *sublaevis* (Keys.)) (2194—2210 м, валанжин), а также *Aequipecten arachnoideus* Sok. et Bodyl. (2194—2210 м, верхняя волга — валанжин).

По микрофауне возраст верхней гольчихинской подсвиты датируется от раннего кимериджа до раннего валанжина. В образцах из Турковской скв. 1 (3149,5—3166,9 м) описан комплекс фораминифер, соответствующий слоям с *Tolyrammina virgula* и *Planularia pressula*, установленным в переходных горизонтах от верхнего кимериджа к нижней Волге. Для этих слоев также является характерным присутствие *Pseudobolivina* sp., *Textularia* sp. и *Geratolamarckina zatonica* Dain. Отложения из интервала 3137,2—3149,5 м содержат комплекс фораминифер, в котором доминантом является *Trochammina septentrionalis* Schar., а в отдельных образцах отличается повышенное содержание *Evolutinella volossatovi* Schar. и *Trochammina kondaensis* Levina. Подобный комплекс широко развит в средневожских отложениях Нордвик-Хатангского района (заключение О. Т. Киселевой, В. К. Комиссаренко и М. И. Таначевой). В разрезе Среднеясинской скв. 2 (3036—3046,5 м) Н. В. Шаровской определен комплекс фораминифер с *Ammodiscus veteranus* Kos., *Evolutinella emeljanzevi* Schleif., *Geinitzinita nodulosa* Furss. et Pol. и др., позволяющий предположить ранневожский возраст вмещающих отложений. На Дерябинской площади в образцах из скв. 5 из интервала 3025—3036 м обнаружены фораминиферы *Haplophragmoides* cf. *fimbriatus* Scharov., *Evolutinella emeljanzevi* (Schl.), *E. schleiferi* (Scharov.), *Recurvoides pracobskiensis* Dain. и др., свидетельствующие о среднепоздневожском возрасте вмещающих отложений, а из интервала (3079—3082 м) — *Recurvoides* ex gr. *stschekuriensis* Dain., *Lenticulina parainitabilis* Dain., *Dentalina* cf. *chochia* Dain., характерные для ранневожских отложений (заключение Н. В. Шаровской). В пламе из Гольчихинской скв. 1 (1524—1536 м) Н. В. Шаровской определены вожские фораминиферы *Evolutinella emeljanzevi* (Schl.), *E. schleiferi* (Schar.) и *Trochammina septentrionalis*. В образцах плама из скв. 318 Южно-Носковской площади с глубины 3690—3742 м В. К. Комиссаренко изучен комплекс фораминифер, среди которых определены виды, характерные для отложений кимериджского и вожского ярусов Западной Сибири: *Cribrostomoides infracretaceous* (Mjatliuk), *Evolutinella emeljanzevi* Schleifer, *Ev. tota* Dain, *Haplophragmoides*

575, на Новой — 580 м. Минимальные мощности фиксируются в южных районах. Например, на Соленинской площади в скв. 21 она составляет всего 38 м.

Столь значительные колебания мощности свиты, вероятно, связаны с неравномерным распределением осадочного материала по площади бассейна в период формирования толщ, а также с локально проявившимся перерывом в осадконакоплении и размывом части отложений в ранне-меловое время. Наиболее глубокий размыв фиксируется по данным бурения на Мессояхской, Семеновской, Тундровой, Балахнинской и Владимирской площадях, где в разрезах скважин установлено налегание неоконских пород даже на байосские отложения.

Накопление верхнеюрской толщи Енисей-Хатангского прогиба происходило в морских условиях. Об этом однозначно свидетельствуют литолого-геохимические особенности пород, а также характер ископаемых органических остатков. Отложения верхней юры соответствуют начальному этапу и максимуму морской трансгрессии.

Вероятно, позднеюрская трансгрессия развивалась постепенно и захватила в первую очередь центральную и северную зоны прогиба, а затем распространилась и на его южную окраину. Поэтому в пределах этих зон нижние слои гольчихинской свиты могут иметь наиболее древний возраст и являться аналогами верхних песчаных пластов малышевской свиты, развитых в окраинных зонах прогиба (см. рис. 3).

Одновременно с накоплением глинисто-алевроитовой нижней подсвиты гольчихинской свиты в южной прибрежной части прогиба накапливались более грубые отложения точинской и сивговской свит. Фациальная граница между зоной накопления алевроитопесчаных прибрежно-морских отложений сивговской свиты и более глубоководных отложений гольчихинской свиты не имела постоянных очертаний и фиксированного местоположения, а периодически мигрировала то вглубь, то к периферии бассейна, изменяя при этом свою конфигурацию. Эти изменения определялись динамикой поступления обломочного материала с Сибирской платформы, представлявшей собой денудационную возвышенность, а также динамическими особенностями бассейна осадконакопления. Таймыр в это время представлял собой низменную (возможно подводную) равнину, не поставившую в бассейн заметных количеств осадочного материала. Максимально удаленное от области сноса положение фациальной границы соответствует линии полной глинизации песчаных пород сивговской свиты (см. рис. 1). Вероятно, такое положение существовало на рубеже раннего и позднего оксфорда. После этого в связи с расширением трансгрессии область накопления алевроитопесчаных отложений постепенно смещалась к югу вплоть до выхода за пределы современных границ прогиба, и, начиная с позднего кимериджа и в течение волжского века, на всей его территории происходило накопление преимущественно глинистых отложений верхней подсвиты гольчихинской свиты и глинисто-алевроитовых отложений яновстанской свиты.

Таким образом, полученные в последние годы сведения о геологическом строении верхнеюрской толщи позволяют сделать вывод о необходимости выделения нового самостоятельного стратиграфического подразделения — гольчихинской свиты, территорию распространения которой при структурно-фациальном районировании верхней юры следует рассматривать в качестве самостоятельной Тапамо-Пясинской зоны в составе Енисей-Ленской структурно-фациальной области.

Выделение гольчихинской свиты имеет определенное практическое значение. Во-первых, ее верхняя граница соответствует разделу бесперспективных непроницаемых глинистых отложений верхней юры и высокоперспективной толщи пекома, в основании которой залегают песчаные тела, содержащие промышленные скопления углеводородов на Дерябинском газоконденсатном месторождении. Во-вторых, при нефтегеологическом районировании верхнеюрского нефтегазоносного комплекса территория развития гольчихинской свиты может рассматриваться как бес-

перспективная, в то время как область развития верхней юры с песчаниками сиговской свиты является высокоперспективной. Кроме того, граница этих областей представляет собой линию литологического замещения песчаных отложений сиговской свиты алевритоглинистыми породами гольчихинской свиты, следовательно, вблизи нее в проницаемых породах сиговской свиты существуют благоприятные условия для формирования залежей углеводородов в ловушках литологически экранированного типа.

ЛИТЕРАТУРА

1. Брадучан Ю. В., Ясович Г. С. Даниловская свита (Западная Сибирь).— Тюмень, 1984.— С. 31—39.— (Тр. ЗапСибНИГНИ; № 188).
2. Карцева Г. Н., Кузнецов Л. Л., Образкова В. П. Новые данные по стратиграфии юрских и меловых отложений в западной части Енисей-Хатангского прогиба // Реперные горизонты верхнего палеозоя и мезозоя севера европейской части СССР и Сибири.— Л., 1983.— С. 96—100.
3. Кукушкина Т. С., Кислухин В. И. Районирование верхнеюрских осадочных образований по типам разрезов (Заполярные районы Западной Сибири) // Тез. докл. VI науч.-техн. конф. мол. ученых ЗапСибНИГНИ.— Тюмень, 1983.— С. 20—21.
4. Решения III Межведомственного регионального стратиграфического совещания по мезозою и кайнозою Средней Сибири (Новосибирск, 1978 г.).— Новосибирск, 1981.

*ИГО Енисейнефтегазгеология
Красноярск*

*Поступила в редакцию
4 мая 1988 г.*

D. P. Kulikov

STRATIGRAPHIC DIVISION AND STRUCTURE-FACIAL ZONATION OF THE UPPER JURASSIC DEPOSITS IN THE ENISEI-KHATANGA DEPRESSION

The presents new data on stratigraphy and lithology of the Upper Jurassic deposits of the Enisei-Khatanga depression. Based on deep boring in central and northern areas of the depression there was well motivated the necessity to distinguish new Golchikhin suite. Its lithological, paleontological, geophysical characteristics and commercial potential are given. The range of the suite is outlined and its relationships with such in adjacent regions are shown.
